

پیچیدگی LZ سیستم‌های دینامیکی آشوبی و سیستم شبه‌قناوبی فیبوناچی

داود آراسته و محمد رضا کلاهچی

مرکز تحصیلات تکمیلی در علوم پایه زنجان

سازمان انرژی اتمی مرکز تحقیقات فیزیک و ریاضیات

(دريافت مقاله: ۷۶/۲/۲ دريافت نسخه نهايى: ۷۶/۸/۲۱)

چکيده

در اين مقاله نشان مى‌دهيم که مفهوم پیچیدگی LZ چگونه با مفاهيم همچون نمای ليپانف و K-انتروپي رابطه پيدا مى‌کند و جدای از خاستگاه اصلی خود در نظریه اطلاع در نظریه سیستم‌های دینامیکی کاربرد دارد. همچنین با انتخاب دنباله فیبوناچی به عنوان نمونه‌ای از آرایه‌های تکاملی نشان داده‌aim که پیچیدگی LZ اين سیستم حاکی از نظم بلند برد آن است.

در اين مرحله هیچگونه اطلاع دقیقی از اوضاع سیستم در دست نخواهد بود.

پارامترهای کنترل یک سیستم مشخص تعیین کننده رفتار آن هستند. از اين بین تعیین حوزه‌هایی از فضای پارامترهای کنترل دستگاه‌هایی که رفتار آشوبی دارند اهمیت دارد. تعیین اين حوزه‌ها با مطالعه شاخصهای دینامیکی اين سیستم‌ها میسر می‌گردد. اينها کمیتهايی اند که نسبت به تغیير پارامترهای کنترل حساس هستند. اکثر اين شاخص‌ها نوعی خاصیت آماری از دینامیک دستگاه به دست مى‌دهند. چند شاخص مطرح عبارتند از: نسماهای ليپانف، انتروپي کولموگروف - سینایي (K-انتروپي)، طيف توان، ابعاد فراکتالی و پیچیدگی LZ. بعضی از اين شاخص‌ها را مى‌توان مستقيماً از سري زمانی پاسخ دینامیکی در تجربه عملی به دست آورد [۶-۲]. و در صورت معلوم بودن معادلات دینامیکی سیستم همگي به شيوه تجربه عددی قابل محاسبه‌اند. اين نوشه از چند قسمت تشکيل

۱. مقدمه

كاربرد دینامیک غیرخطی در پدیده‌های مختلف فیزیکی منجر به شناخت رفتارهای متنوعی شده است. به ویژه رفتار آشوبناک که حتی در سیستم‌های تعیین ساده نیز روی مى‌دهد [۱] مورد توجه بسیار بوده است. آشوب رفتاری است عدم امکان پیش‌بینی ولی آنچه صفت بارز این گونه رفتار است عدم محدودیت با کنار گذاردن دقت بینهايت از طرز تلقی رایج در نظام دینامیک نیوتونی بروز مى‌نماید. سیستم‌هایی که رفتار آشوبناک دارند بسیار به شرایط اولیه سیستم دینامیکی حساس‌اند یعنی هر تغیير جزئی در شرایط اولیه، پیامد عمده‌ای در وضعیت نهايی سیستم ایجاد مى‌نماید. به طوری که تحول زمانی سیستم موجب رشد عدم دقت‌های ذاتی پنهان در اندازه‌گيری‌ها و محاسبات فیزیکی می‌گردد تا اينکه اين عدم دقتها بزرگتر از دقت متناهی تجربه فیزیکی مى‌شوند.

به عنوان نمونه پیچیدگی الگوریتمی آرایه $111\dots111$ را حساب می‌کنیم. برنامه کامپیوترا مورد نظر می‌تواند چنین باشد: بنویس n ، n مرتبه که n طول آرایه است. طول برنامه برحسب بیت عبارت است از $L \sim \log_7 n$: و در نتیجه مقدار پیچیدگی الگوریتمی آرایه یعنی $K \log_7 n$ است. در حالی که برنامه کامپیوترا برای بازارآفرینی دنباله حاصل از نتایج پرتاب سکه الزاماً شامل دستور چاپ تک تک نمادهای آرایه است. به عبارت دیگر آرایه:

$$111\dots111 \quad \text{به دلیل پیش بینی پذیر بودن نمادهای آرایه با الگوریتمی فشرده‌تر قابل بازارآفرینی است. لیکن در مورد آرایه دوم عدم توافقی پیش بینی ترتیب نمادهای آرایه، الگوریتمی فشرده تراز کل محتوا اطلاعات آرایه نمی‌توان ارائه کرد. از این رو دنباله‌ای که دارای بیشترین مقدار پیچیدگی الگوریتمی است دنباله کترهای و اطلاعات لازم برای بازسازی آرایه از همان مرتبه بزرگی اطلاعات نهفته در آرایه است. یعنی داریم: طول آرایه: } k-n$$

تعریف ارائه شده برای پیچیدگی از نظر وجود این مفهوم کفايت می‌کند ولی از لحاظ محاسبه پذیر بودن دارای یک مشکل اساسی است. این مشکل از اینجا ناشی می‌شود که به علت متناهی بودن پیچیدگی همه سیستم‌های صوری، دستورالعملی (برنامه‌ای) فراگیر که امکان تعیین کوتاهترین برنامه کامپیوترا را در حالت کلی برای هر گونه آرایه در آن نظام بدهد وجود ندارد. این موضوع بدین معنی است که میزان اطلاعات داخل سیستم صوری برای تصمیم‌گیری در باره مینیمال بودن یک برنامه به خصوص کافی نمی‌باشد. از این رو همیشه مقادیر نسبی پیچیدگی مدنظر است و برای مقاصد کاربردی میزان تقریبی آن قابل تعیین است [۸] رهیافت لمپل و زیف برای برآورده ساختن این هدف صورت گرفت. آنها به جای محاسبه پیچیدگی الگوریتمی برنامه‌ای تدارک دیدند که از عهده محاسبه سنجه‌ای از پیچیدگی برآید. و از میان تمام برنامه‌های ممکن تنها یک دسته که فقط شامل دو دستور {واردکردن - کپی کردن } بود را برای یافتن طول برنامه کامپیوترا برگزیدند. این روش تعداد الگوهایی که با دو دستور فوق برای بازسازی آرایه‌ای از نمادها نیاز است را می‌شمارد. آنها همچنین ثابت کردند که پیچیدگی LZ سنجه مناسبی برای اندازه‌گیری پیچیدگی الگوریتمی است. لازم به ذکر است که سنجه LZ منحصر به فرد نبوده و سنجه‌های دیگری از این نوع معرفی شده‌اند. برای آگاهی بیشتر مراجع [۱۲، ۱۳] توصیه می‌گردد. در

شده است. موضوع قسمت اول معرفی شاخصی موسوم به پیچیدگی LZ است. این مفهوم را به تفصیل شرح داده‌ایم [۷، ۸، ۹، ۱۰، ۱۱]. از ریز نکات مطرح شده نهایتاً استفاده خواهیم کرد.

استفاده از پیچیدگی LZ به عنوان شاخصی بر رفتار آشوبناک سیستم‌های دینامیکی اول بار به وسیله کاسپروشوستر برای نگاشت گستته درجه یک به نام سیستم لاجستیک معرفی شد [۷]. در اینجا نشان می‌دهیم که چگونه این شاخص برای تعیین رفتار سیستم‌های دینامیکی با نگاشتهای پیوسته و گستته درجات بالاتر نیز مؤثر است. به این منظور از نگاشت هنون و نوسانگر و اداشته اتلافی سود می‌جوییم. تأکید ما در این قسمت مقایسه شاخص نمای لیاپانف و شاخص پیچیدگی LZ است. شاخص نمای لیاپانف براساس روش راست بهنجارش گرام - اشمیت برای دو سیستم فوق محاسبه می‌شود [۶، ۹].

قسمت آخر مقاله کاربرد نوینی از پیچیدگی LZ است. در این قسمت سیستم را در نظر می‌گیریم که نظم شبه تناوبی دارد. این سیستم دنباله فیబوناچی است. جملات این دنباله با دستورالعمل مشخصی به وجود می‌آیند. در اینجا نیز با سیستمی تعیینی سروکار داریم که برای مشخص کردن جمله n آن به تمام جملات پیشین نیاز داریم. با این حال نشان می‌دهیم که چگونه پیچیدگی LZ قادر است این سیستم را از زمرة سیستم‌های آشوبی باز شناسد. نکته قابل توجه این است که خصلت نظم شبه تناوبی در قالب رفتار خاص این پیچیدگی برحسب طول دنباله ظهر می‌کند.

۲. پیچیدگی الگوریتمی و پیچبدگی LZ (لمپل و زیف) [۷]

(الف) تعریف

در بی تحلیل مفهوم یک دنباله تصادفی مطالعات کولموگروف و چی تین منجر به ارائه مفهوم پیچیدگی الگوریتمی گردید. آنها پیچیدگی الگوریتمی آرایه‌ای از نمادها را کوتاهترین برنامه کامپیوترا (برحسب بیت) برای ساختن مجدد همان آرایه تعریف کرده‌اند. خاستگاه این تعریف ارائه معیاری از صفت کترگی است. خواهیم دید تعریف صفت کترگی به طور طبیعی از مفهوم پیچیدگی الگوریتمی نتیجه می‌شود و لازم است تأکید شود که تعریف ارائه شده مستقل از منبع تولید داده‌هاست و تنها به الگوی نمادهای یک آرایه بستگی دارد و به طور کمی بیانگر میزان اطلاعات نهفته در آرایه مورد تحلیل است.

فرماییسم پرسش بالا به وضعیتی که رقم (یا رقمهای) بعدی را نیز در بر می‌گیرد $Q = s_{r+1} s_{r+2}$ تعمیم می‌یابد و ارزش درستی گزاره $(\hat{Q} \in V(SQ))$ تعیین کننده گام بعدی خواهد بود. به طوری که در صورت درست بودن این گزاره Q صرفاً کپی شده و پیچیدگی LZ تغییر نمی‌کند. بدین طریق ادامه داده تا جایی که Q دیگر جزو واژگان Δ نباشد. در این حالت وارد کردن الگوی جدید اجتناب ناپذیر خواهد بود و همگام با این حالت یک واحد نیز به پیچیدگی LZ افزوده می‌شود. براین اساس دیده می‌شود که تعداد کل الگوهای لازم برای بازسازی آرایه مورد نظر میزان پیچیدگی LZ آن آرایه خواهد بود. از آنجاکه در بازآفرینی ساده‌ترین آرایه‌ها به طول n مثل $111\dots111$ تنها عضو واژگان این آرایه یعنی ۱ لزوماً با ورود این نماد و $(n-1)$ با تکرار آن میسر می‌گردد. در نتیجه کمترین مقدار پیچیدگی LZ آرایه هاست و به مقدار $C(n) = 2$ می‌باشد. لمبل و زیف نشان دادند پیچیدگی LZ آرایه کترهای در الفبای k حرفی برابر $b(n) = \lim_{n \rightarrow \infty} (n / \log_k n)$ است. این حد بیشترین مقدار پیچیدگی LZ را مشخص می‌سازد.

ج) پیچیدگی LZ به عنوان یک شاخص دینامیکی
در حالت کلی استفاده از دینامیک نمادها که هر مسیر از یک سیستم دینامیکی را به آرایه‌ای از نمادها می‌نگارد. امکان محاسبه پیچیدگی LZ را به وجود می‌آورد. در اینجا موجودی که پیچیدگی LZ آن مورد نظر است ریاضیه فضای فاز سیستم دینامیکی است و توسط پیام‌های مشخصی کد سازی می‌شود. با تکیه بر این فرماییسم پیچیدگی LZ را به عنوان شاخصی در تحلیل ماهیت رفتارهای سیستم‌های دینامیکی مطرح کرده‌اند [۷] پیرو این ایده با کدبندی مشاهده پذیرهای دینامیکی سیستم هنون:

$$\begin{aligned} H : X_{n+1} &= 1 - aX_n^2 + Y_n \\ Y_{n+1} &= bX_n \end{aligned}$$

و سیستم پیوسته نوسانگر و اداسته اتلافی با معادله حرکت:

$$P: \ddot{X} + K\dot{X} + \sin X = g \cos(\omega_d t)$$

پیچیدگی LZ را به ازای مقادیر معین از پارامترهای کنترل این دو سیستم محاسبه شده است [۱۴]. شیوه تولید کدهای آرایه برای نگاشت هنون بر این قاعده بوده است که فضای فاز سیستم به

قسمت بعد ابتدا مفاهیم مقدماتی پیچیدگی LZ معرفی می‌شود. سپس چگونگی محاسبه پیچیدگی LZ یک آرایه توضیح داده می‌شود.

ب) نظریه محاسبه پیچیدگی LZ
آرایه $S = s_1 s_2 \dots s_n$ به طول متناهی $= n$ را در نظر بگیرید. به طوری که مجموعه s_1, s_2, \dots, s_n و A مجموعه القای نمادهایی است که آرایه Δ را تشکیل داده است. مجموعه کلیه زیرآرایه‌های الگوهای متوالی یک آرایه مانند Δ را واژگان آن آرایه می‌نامند و با $V(S)$ نشان می‌دهند. مثلاً اگر $A = \{0, 1\}$ و $S = 1001$ باشد واژگان این آرایه به صورت زیر خواهد بود:

$$V(S) = \{1, 0, 10, 00, 01, 100, 001, 1001\}$$

منظور از $OR = S$ آرایه‌ای است به طول $R = r_1 r_2 \dots r_m$ که از ترکیب دو آرایه $O = 0, 02 \dots q_k$ و $R = 1, 02 \dots s_n$ ساخته می‌شود. همچنین عملگر \wedge آخرین نماد آرایه را حذف می‌کند یعنی:

$$S = s_1 s_2 \dots s_n \rightarrow S^\wedge = s_1 s_2 \dots s_{n-1}$$

اکنون فرض می‌کنیم برنامه کامپیوتري آرایه $s_1 s_2 \dots s_n$ را تا نماد Δ بازسازی کرده باشد. یعنی s_r رقمی است که به تازگی وارد آرایه شده است و از کپی کردن آن از $s_{r-1} s_{r-2} \dots s_1$ به دست نیامده است.

آرایه‌ای که تا نماد Δ بازسازی شده است را به شکل $\dots s_r s_{r-1} \dots s_1$ نشان می‌دهیم که علامت انتها بیانگر جدیدالورود بودن آخرین رقم یعنی s_r است.

گام بعدی برای ادامه کار بازسازی آرایه S تعیین این موضوع است که آیا بقیه رقمهای S (یعنی $s_{r+1} \dots s_n$) را می‌توان صرفاً با کپی کردن بازسازی کرد و یا اینکه باید الگوهای جدیدتری وارد آرایه فعلی $(s_1 s_2 \dots s_r)$ شود. برای این منظور کافیست تعیین کنیم که آیا $s_{r+1} \dots s_n$ عضوی از واژگان آرایه S هست به طوری که به سادگی با کپی کردن آن عضو به دست آید یا خیر. این امر هم ارز تعیین ارزش درستی گزاره $(\hat{Q} \in V(SQ))$ است. در صورتی که گزاره فوق درست نباشد، $Q = s_{r+1} \dots s_n$ به عنوان یک نماد جدید وارد آرایه می‌شود و یک واحد به پیچیدگی LZ اضافه می‌گردد و در غیر این صورت

لیاپانف آن مثبت باشد. به این نما بزرگترین نمای لیاپانف نیز گفته می‌شود. همانطور که از نمودار انشعاب نوسانگر واداشته اتلافی پیداست (شکل ۴) تغییر در پارامتر کنترل (دامنه نیروی محرك) در حوزه‌های بخصوص موجب تغییر ماهیت رفتار دینامیکی سیستم می‌شود. مثلاً در نقاط انشعاب، دوره تناوب حرکات منظم دستگاه مضاعف می‌گردد یا گذار آشوب به نظم در پنجره‌های تناوبی به صورت آشوب اینتر می‌بینیم صورت می‌گیرد. این تغییر ماهیت موجب تغییر بزرگترین نمای لیاپانف خواهد شد. در نقاط انشعاب به دلیل نایابیار شدن مسیرهای قبلی و به وجود آمدن میسرهای پایدار جدید با تناوب مضاعف، آهنگ تحول نمایی مسیرها صفر است و با پایدار شدن مسیرهای جدید مقادیر متغیر خواهد داشت. به عبارت دیگر در نقاط انشعاب نمای لیاپانف صفر خواهد بود. در آشوب اینتر می‌بینیم رفتار منظم و تناوبی با رفتار آشوبی در پی یکدیگر و به طور نامنظم ظاهر می‌شوند و با ورود به پنجره تناوبی رفتار منظم ماندگار می‌شود. از این رو میانگین آهنگ رشد نمایی مسیرها مقادیری مثبت و کوچک هستند.

از سوی دیگر پیچیدگی LZ بهنجار یعنی کمیت $\{C(n)/b(n)\}$ برای مسیرهای تناوبی و نقاط انشعاب در مورد هر دو سیستم مقدار نزدیک به صفر دارد. یعنی با وجود تشکیل انشعابهای جدید و پیچیده‌تر شدن الگوهای تناوبی جلوه‌ای مشخص از این تحولات در مقدار پیچیدگی LZ دیده نمی‌شود. این موضوع می‌تواند از نحوه نگاشت اطلاعات موجود در ریانده فضای فاز به آرایه نمادهای الفبای دو حرفی ناشی شده باشد. به نظر می‌رسد در این سطح از محاسبه فقط تمايز رفتار آشوبناک $\{C(n)/b(n)\} < 1$ سیستم دینامیکی تعینی از رفتار منظم $\{C(n)/b(n)\} = 0$ امکان پذیر است.

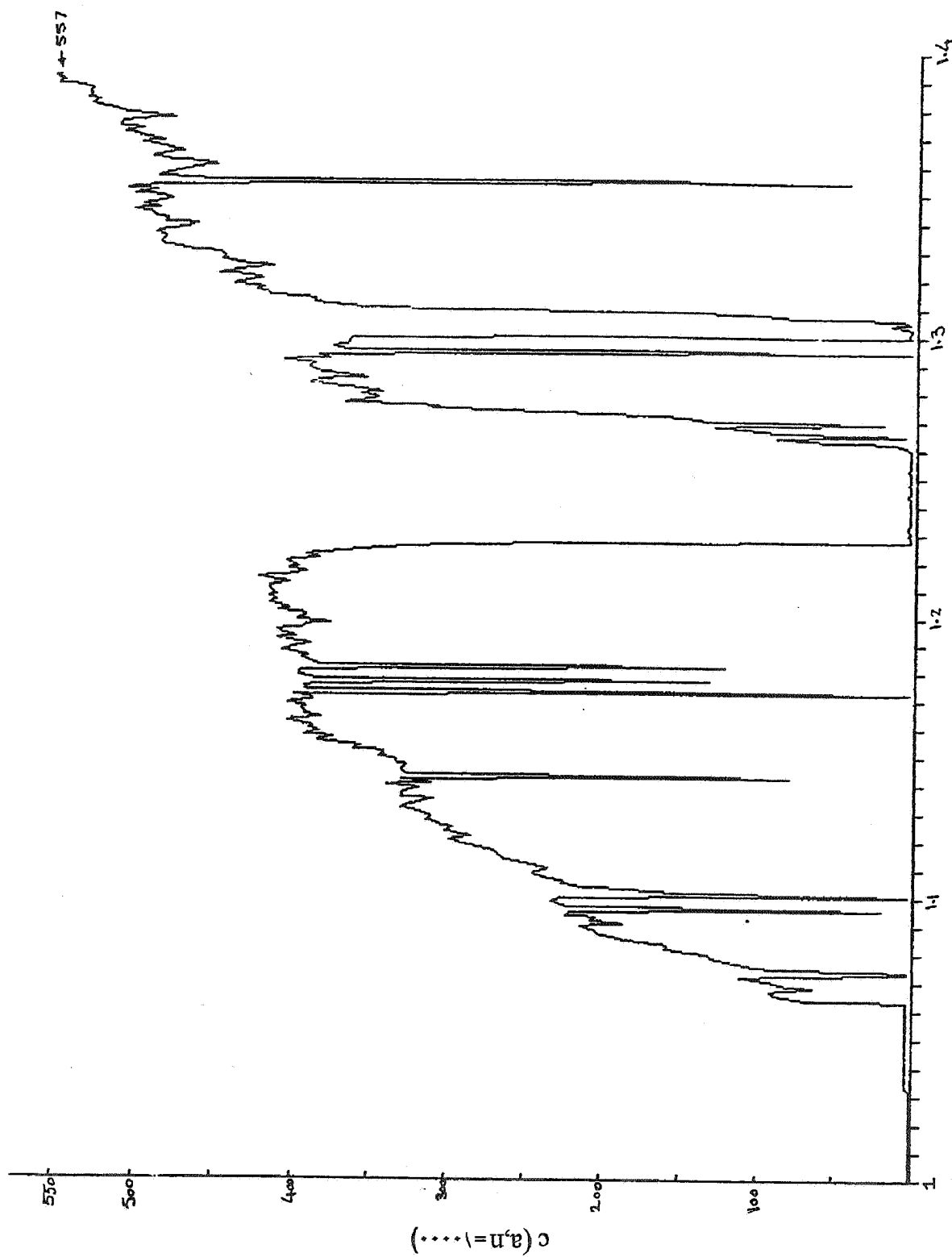
با وجود تفاوت عنوان شده در ناحیه رفتارهای تناوبی تناظر این دو شاخص در تبیین همسان ماهیت تحول سیستم هنون (شکل‌های ۱ و ۵) و سیستم نوسانگر (شکل‌های ۳ و ۶) کاملاً مشهود است. این مطلب حکایت از وجود پیوند عمیق بین این دو مفهوم دارد. موضوع ارتباط نمای لیاپانف و پیچیدگی LZ در مرجع [۷] نیز مطرح شده است. درک صریح این ارتباط به سادگی امکان پذیر است. کمیتها بی همچون پیچیدگی الگوریتمی پیچیدگی LZ پیچیدگی آماری و پیچیدگی ریسانن همگی در حد $n \rightarrow \infty$ به مقدار K -انتروپی میل می‌نمایند [۱۲]. از سوی دیگر نامین نمای لیاپانف مثبت (λ^+) آهنگ تولید

چهار ناحیه : $(Y, -Y), (-X, Y), (X, Y), (-X, -Y)$ (تقسیم گردید. سپس وقتی پاسخ مجانبی سیستم دینامیکی (X_n, Y_n) به ازای مقدار معین پارامتر a در ربع اول و سوم قوار می‌گرفت در آرایه نماد یک می‌شود. و در غیر این صورت در آرایه صفر منظور می‌شود. آرایه حاصل به عنوان ورودی به برنامه محاسبه پیچیدگی LZ داده می‌شود. این روند برای هر a در بازه $[1, 1, 4]$ و $b = 0.3$ با گام $0.1 = \Delta a$ تکرار و محاسبه انجام پذیرفته است. طول آرایه یعنی n برابر 10000 است. شکل (۱) پیچیدگی LZ نگاشت هنون را بر حسب پارامتر a می‌دهد. برای مقایسه نمودار انشعاب همین نگاشت را در همان بازه از پارامتر a که پیچیدگی LZ محاسبه گردیده است رسم کرده‌ایم (شکل ۲). دیده می‌شود درون پنجره‌ها یعنی هنگام رفتار منظم سیستم در حوزه انشعابهای مضاعف شونده مقادیر پیچیدگی LZ از پیچیدگی حالت‌های آشوبناک بسیار کمتر است. این نتیجه با مفهوم کلی پیچیدگی سازگار است زیرا رفتارهای تناوبی موجب تشکیل الگوهای منظم و مکرر در آرایه حاصل از کدبندی مشاهده پذیرهای (X_n, Y_n) شده است.

محاسبه پیچیدگی LZ برای سیستم نوسانگر واداشته اتلافی به شرح زیر انجام پذیرفته است. در اینجا پارامترهای کنترل عبارتند از سرعت زاویه‌ای محرك و ضربی اصطکاک به ترتیب با مقادیر ثابت $\omega = 0.5$ و $K = 0.5$ و دامنه نیروی محرك (g) با مقادیری که در بازه $1/9 \leq g \leq 1/5$ با گام $0.01 = \Delta g$ تغییر می‌کند. طول آرایه $n = 20000$ در نظر گرفته شده است. تولیدکدهای آرایه به ازای مقدار معین دامنه نیروی محرك در محدوده فوق براساس قاعده ساده‌ای انجام شده است به طوری که هر گاه سرعت زاویه‌ای نوسانگر $(\dot{\theta})$ بزرگتر از صفر بوده رقم متناظر در آرایه تک و در غیر این صورت صفر منظور شده است. تحلیل هر آرایه از لحظه پیچیدگی به وسیله برنامه کامپیوتری انجام شده است. شکل (۳) نمودار نتایج حاصل بر حسب دامنه نیروی را نشان می‌دهد. در شکل (۴) نمودار انشعاب (یعنی مقدار مجانبی سرعت زاویه‌ای به ازای مقدار معینی از دامنه نیروی محرك) این سیستم آمده است.

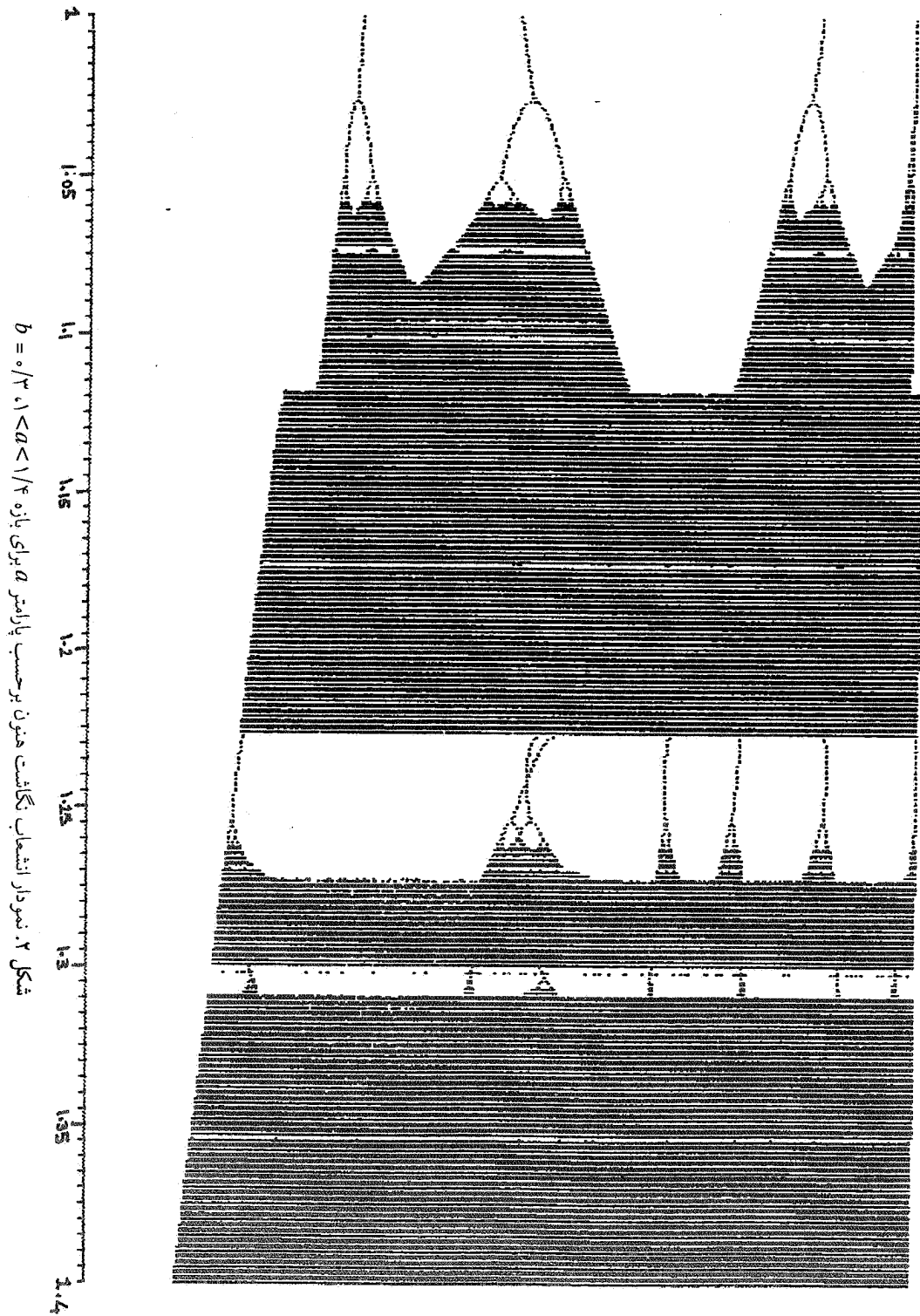
نمای لیاپانف که میانگین آهنگ و اگرایی (همگرایی) نمایی مسیرهای فضای فاز را نشان می‌دهد عیناً در همان گستره از پارامترهای کنترل سیستم هنون و سیستم نوسانگر محاسبه گردیده است [۹].

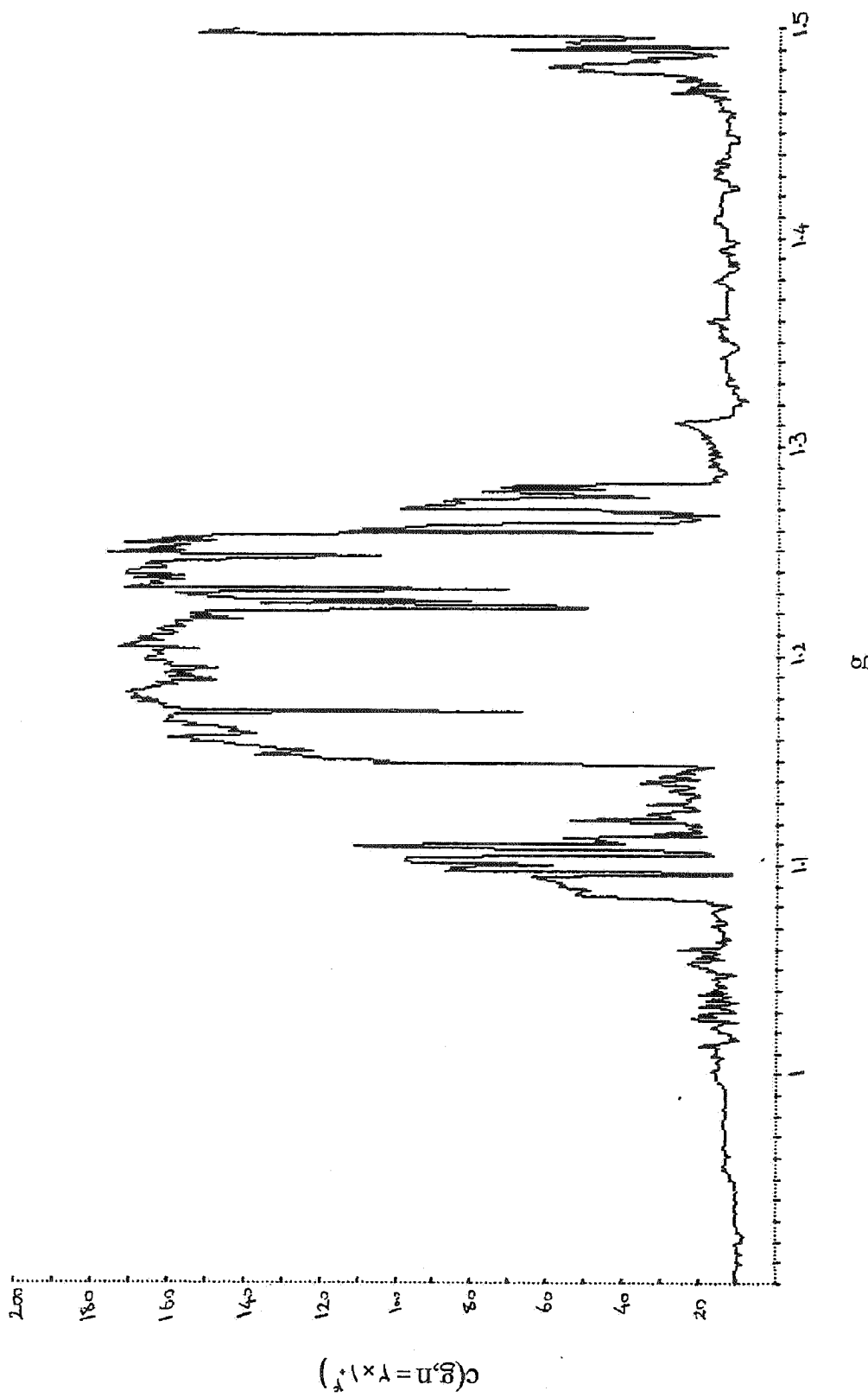
به تعداد ابعاد فضای فاز نمای لیاپانف تعریف می‌شود و منظور از یک سیستم آشوبناک سیستمی است که حداقل یک نمای



شکل ۱. پیچیدگی LZ گاشت هنون بر حسب پارامتر باری بازه $0 < a < 1/3$ و $b = 1/4$

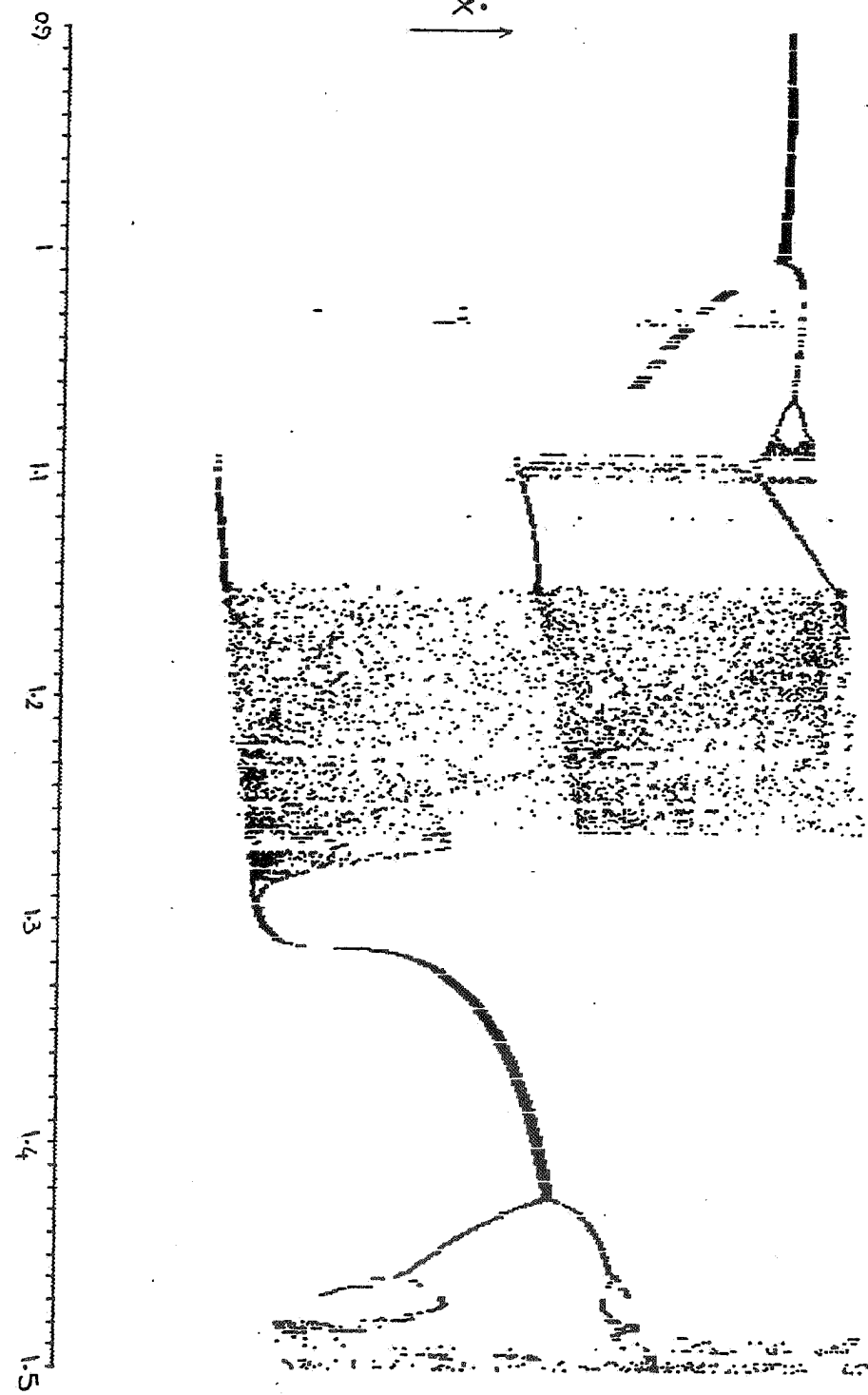
a

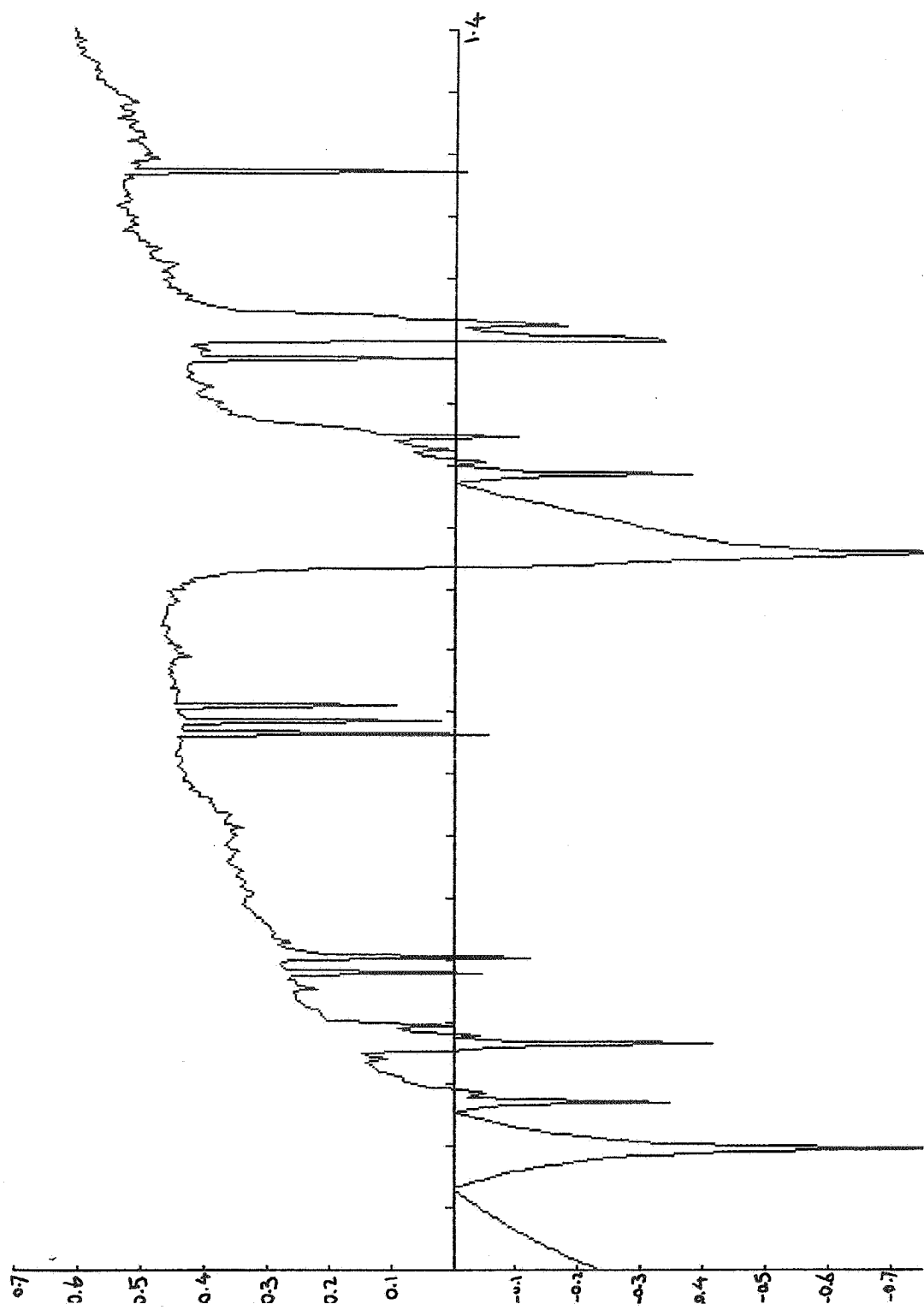




شکل ۳. پیچیدگی LZ نویسانگ را داشته ازلافی بر حسب دامنه نیروی محرک (g)، و به ازای فرکانس نیروی محرک $\omega = \frac{\pi}{d}$ و ضرب میراثی $k = 0/5$

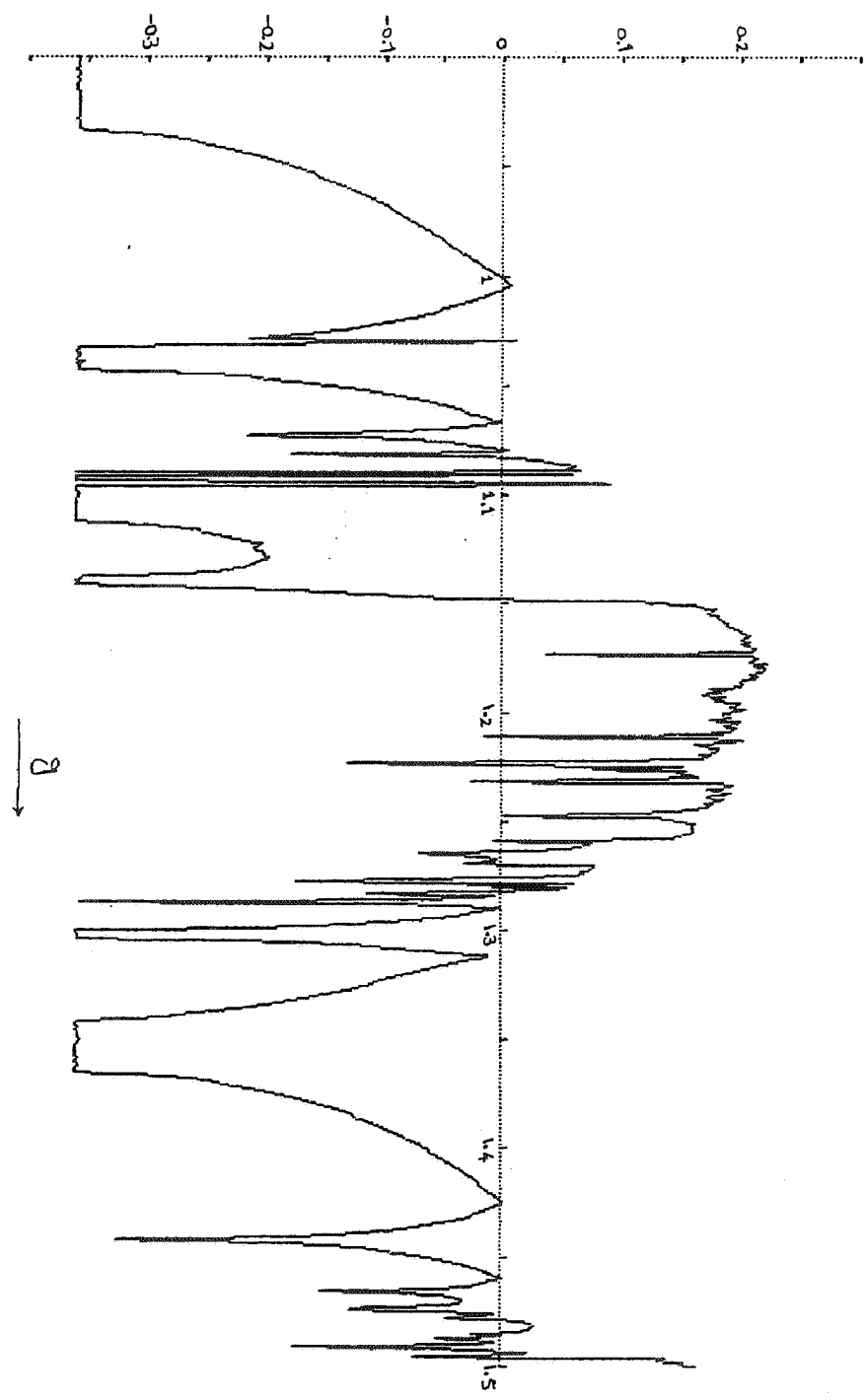
نمودار ۳: نموداری از تغییرات میزان سطح آب در حوضه آبریزی در سه مقطع زمانی مختلف با میزان بارش متوسط ۵/۰ = K_0

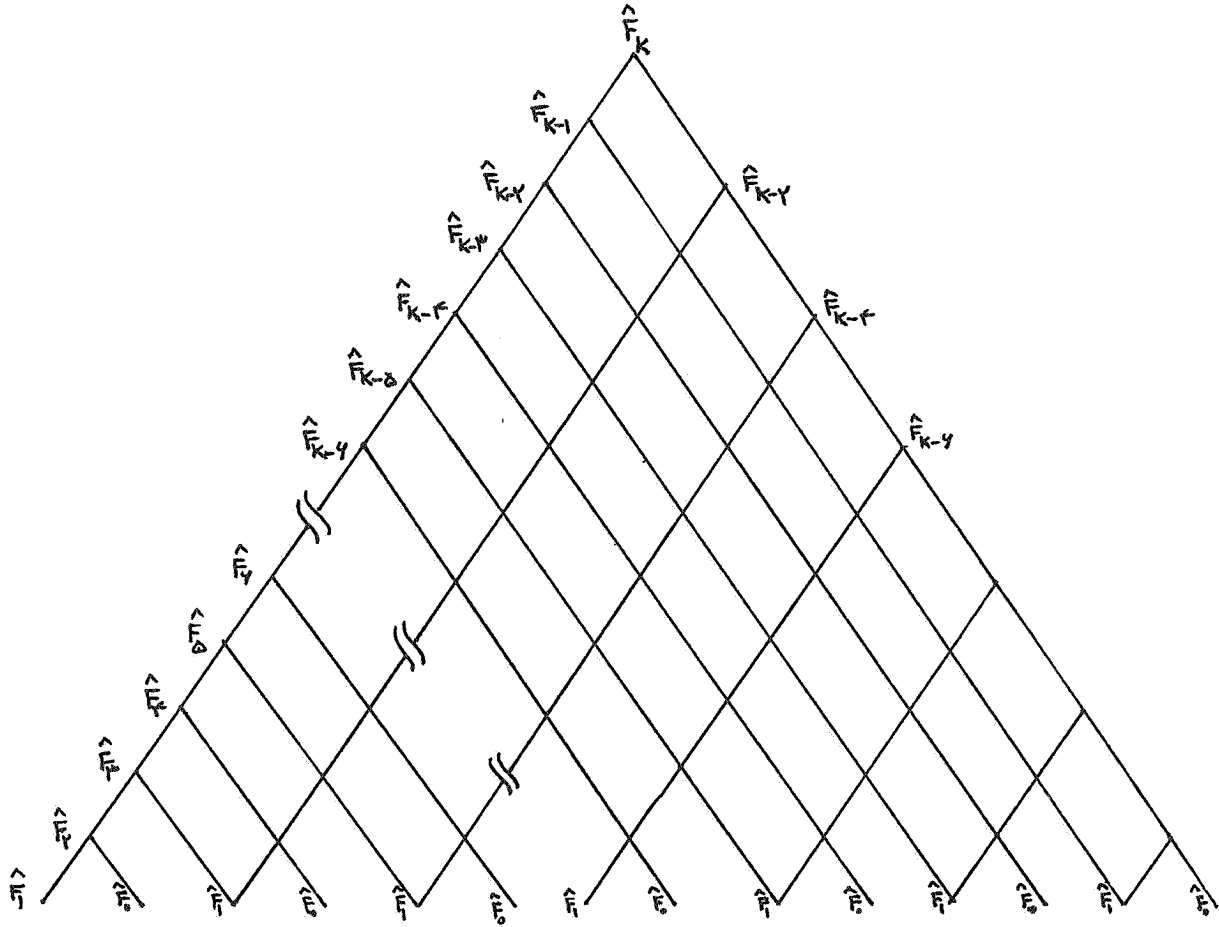




شکل ۵. نمای لیپاونگ کاشت هونن بر حسب پارامتر a برای بازه $0 < a < 1/3$ و $b = 0$

کلیه این نتایج را می توان بر اساس این نتایج برای سایر مطالعات این دسته در این زمینه از جمله اینکه $\lambda = 0.5$ و $\omega = 0.5$ باشد، بر این شکل در نظر گرفت.





شکل ۷. ساختار ارتباط هر بلوک فیبوناچی بازیر بلوک‌های تشکیل دهنده آن.

اتلافی که در مد آشوبی تنها یک نمای لیاپانف مثبت دارند. پیچیدگی LZ با تنها نمای لیاپانف مثبت متناسب است.

اطلاعات تحت تحول سیستم در راستای مختصه i ام فضای فاز را معین می‌کند. K -انتروپی آهنگ تولید کل اطلاعات در آن فرآیند دینامیکی است:

$$h_\mu(X) = \sum_i D_i \lambda_i^+$$

چگالی اطلاعات به ازای هر بیت مختصه i ام فضای فاز D_i می‌باشد. برای راستاهایی که ناپایداری دینامیکی دارند هر بیت اطلاع از تحول سیستم با وجود تعیینی بودن قابل پیش‌بینی نیست. از این رو برای این راستاهای D_i برابر یک خواهد بود. در نتیجه داریم:

$$h_\mu(X) = \sum_i \lambda_i^+$$

در این قسمت به صورتی که قصه‌ای از پیچیدگی LZ یک سیستم شبه تناوبی را به دست می‌دهد پرداخته‌ایم.

مقایسه این رفتار با پاسخ سیستم‌های کتره‌ای و آشوبی آموزنده خواهد بود.

تعریف. زیر دنباله $A_i A_{i+1} \dots A_{i+m}$ به طول $m \leq l$ از دنباله

$A_L A_{L-1} \dots A_2 A_1$ را یک بلوک می‌نامیم.

مثال: بلوک فیبوناچی

دنباله فیبوناچی $\{f_n\}_{n=0}^N$ که در آن $f_n = f_{n-1} + f_{n-2}$ است را در نظر می‌گیریم. بلوک فیبوناچی آرایه‌ای متناهی است که شکل گیری آن حاصل از دستوری مبتنی بر شکل‌گیری دنباله فیبوناچی است که

بنابراین به طور کلی در مدد آشوبی پیچیدگی LZ با مجموع نمایان لیاپانف مثبت ارتباط مستقیم دارد. برای سیستم‌هایی همچون نگاشت هنون و توسانگر و داشته

اثبات داریم:

$$S' = S \oplus S'', \quad S'' \subset_B S \quad ; \quad L(S') = L(S \oplus S'') = n$$

در اثر عمل به ترتیب چیدن (\oplus) دو بلوک قبلی حاصل می شود. ساده ترین بلوک را بلوک های پایه صفر و یک می تامیم. فهرست چند حالت مقدماتی از این تناظرها به صورت زیر است:

که در آن:

$$S'' = s_1 s_{i+1} \dots s_j = s_{r+1} s_{r+2} \dots s_n, \quad 1 \leq i \leq j \leq r$$

$$S' = s_1 s_2 \dots s_r s_{r+1} \dots s_n$$

با استفاده از تعریف، پیچیدگی LZ آرایه S را حساب می کنیم.

$$j) \quad S' = S \setminus = s_1 s_2 \dots s_r \setminus$$

$$Q = s_{r+1}, \quad SQ = S \setminus s_{r+1}, \quad SQ^\sim = S \setminus$$

$$S'' \subset_B S \Rightarrow (Q = s_{r+1}) \in S$$

$$\therefore Q \in V(SQ^\sim)$$

$$j+1) \quad Q = s_{r+1} s_{r+2}; \quad SQ = S \setminus s_{r+1} s_{r+2}; \quad SQ^\sim = S \setminus s_{r+1}$$

$$S'' \subset_B S \Rightarrow (Q = s_{r+1} s_{r+2}) \in S$$

$$\therefore Q \in V(SQ^\sim)$$

به همین ترتیب تا به جمله آخر ($j=r$) این کار تکرار می شود.
برای آخرین گام می نویسیم:

$$j=r) \quad Q = s_{r+1} s_{r+2} \dots s_n, \quad SQ = S \setminus s_{r+1} s_{r+2} \dots s_n, \quad SQ^\sim = S \setminus s_{r+1} s_{r+2} \dots s_{n-1}$$

$$S'' \subset_B S \Rightarrow Q \subset_B S \quad \therefore Q \in V(SQ^\sim)$$

$$COPY \quad Q = S''$$

$$\therefore S' = S / Q = S / S''$$

$$\therefore C(S') = C(S) + 1$$

قضیه. پیچیدگی LZ هر بلوک فیبوناچی (F_n) برابر n است.

اثبات این قضیه با استفاده از دو لم ارائه شده یدیهی است.

$$C(F_n) = C(F_{n-1}) + 1 = C(F_{n-2}) + 2 = C(F_{n-3}) + 3 = \dots = C(F_2) + (n-2) = 2 + (n-2) = n$$

این قضیه روی مقدار پیچیدگی LZ دنباله فیبوناچی قید

بلوک های فیبوناچی	جملات دنباله فیبوناچی	f_i	F_i
$f_0 = 0$	s_1	$f_0 = 1$	$F_0 = 0$
$f_1 = 1$	$s_1 s_2$	$f_1 = 1$	$F_1 = 1$
$f_2 = 2$	$s_1 s_2 s_3$	$f_2 = 2$	$f_2 = 10$
$f_3 = 3$	$s_1 s_2 s_3 s_4$	$f_3 = 3$	$F_3 = 101$
$f_4 = 5$	$s_1 s_2 s_3 s_4 s_5$	$f_4 = 5$	$F_4 = 10110$
$f_5 = 8$	$s_1 s_2 s_3 s_4 s_5 s_6$	$f_5 = 8$	$F_5 = 10110101$
\vdots	\vdots	\vdots	\vdots
$f_k = f_{k-1} + f_{k-2}$	\vdots	$F_k = F_{k-1} \oplus F_{k-2}$	\vdots

شکل (۷) ارتباط هر بلوک را با زیر بلوک های تشکیل دهنده اش نشان می دهد. همچنین چگونگی ارتباط هر بلوک با بلوک های پایه F_0, F_1, F_2, F_3, F_4 مشخص است. مثلاً بلوک F_6 از دو بلوک F_5 و F_4 تشکیل شده است. و از سوی دیگر F_6 شامل یک زیر بلوک F_5 و پنج زیر بلوک F_4 سه زیر بلوک F_3 و پنج زیر بلوک F_2 است. آنچه به طور مشخص برایمان اهمیت دارد محاسبه پیچیدگی LZ این بلوک هاست. مثال ساده زیر نحوه عملکرد دستور العمل محاسبه پیچیدگی LZ را نشان می دهد.

لم ۱. پیچیدگی LZ سومین بلوک فیبوناچی (F_2) برابر دو است.

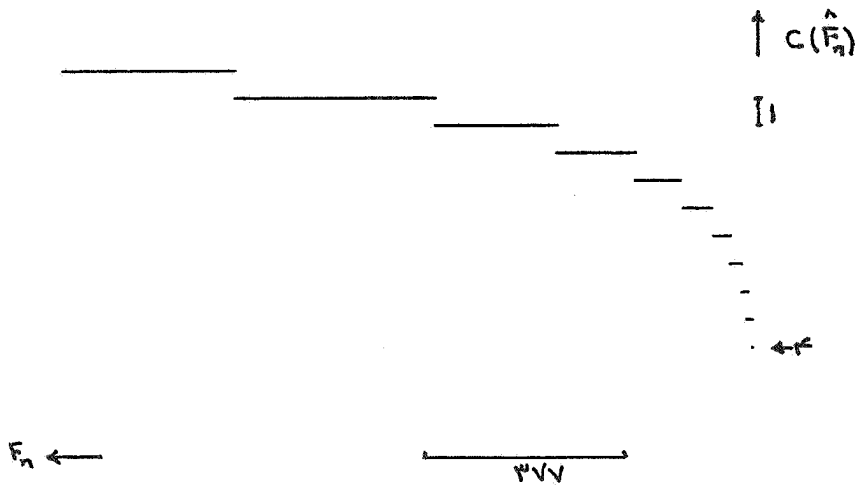
اثبات با استفاده از تعریف پیچیدگی LZ انجام می شود.

$$\begin{aligned} S' &= F_2 = 10 \\ 1) \quad S &= 1/ \\ 2) \quad Q &= 0; \quad SQ = 1/0; \quad V(SQ^\sim) = 1 \\ &\vdots \\ &\therefore V(SQ^\sim) = 1 \\ &\therefore S' = S = 1/0 \Rightarrow C(S') = C(F_2) = 2 \end{aligned}$$

اکنون لم دیگری ارائه می کنیم که در اثبات قضیه نهایی مفید واقع می شود.

لم ۲. اگر به دنباله S به طول r هر بلوکی از S به طول $(n-r)$ اضافه کنیم (\oplus)، در این صورت پیچیدگی LZ دنباله حاصل (S') برابر است با:

$$C(S') = C(S) + 1$$



شکل ۸. پیچیدگی LZ بلوک‌های فیبوناچی بر حسب طول هر بلوک (f_n).

که در لم دو پیان شد.

به وجود نظم یا همبستگی بلند برد در ساختارهای تکاملی که ساختار شبه تناوبی را در بر می‌گیرد قبل اشاره شده است [۱۳]. در اینجا با استفاده از پیچیدگی LZ به شیوه کمی این نظم را نشان داده ایم.

برای درک ارتباط پیچیدگی LZ و نمای لیاپانف حاصل از نگاشت فیووناچیو:

معینی می‌گذارد و به طور کمی در بردارنده این پیامد است که پیچیدگی LZ به صورت تابع لگاریتمی از طول بلوکهای n می‌باشد. شرح این موضوع از این قرار است.

جمله عمومی زیرا $f_n = \frac{(\alpha^n - \beta^n)}{(\alpha - \beta)}$ دارد که در آن $\alpha = \sqrt[2]{1 + \sqrt{5}}$ و $\beta = \sqrt[2]{1 - \sqrt{5}}$ می‌باشد. بنابراین می‌توان ریشه‌های معادله $1 = \frac{1}{\tau} - \tau$ را باشند.

نوشت:

$$f_n = [\tau^n - (-1/\tau)^n]/\sqrt{\phi}$$

از آنجاکه $1 > 1/\tau$ است برای n های بزرگ داریم:

$$f_n \cong \tau^n \Rightarrow \text{Log}_\tau f_n \cong n.$$

از آینه و خواهیم داشت:

$$C(F_n) \cong Log_{\sqrt{f_n}}.$$

$$C_b = \lim_{n \rightarrow \infty} \{C(F_n)/n\} = \lim_{n \rightarrow \infty} \{n/n\}$$

= \backslash BLOCK/ITERATION

از سوی دیگر برای به دست آوردن نمای لیپاپاف به طریق زیر عمل می‌کنیم. در اینجا Z_n برداری است که از حل معادله و دش، به دست می‌آید و Z_n دارای که او له ($\delta Y, \dots, \delta X$) است.

$$Z_n = (\delta X_n, \delta Y_n) = J_{n-1}^{-1} |_{(\delta x, \delta y)} (\delta X_{n-1}, \delta Y_{n-1}) \\ = J_{n-1} \circ J_{n-2} \circ \dots \circ J_1 \circ J_0 \cdot Z_0$$

رفتاری را که این قضیه پیشنهاد می‌کند با آزمایش روی کامپیوتر برای بلوکهایی تا طول $f_{13} = 377$ نشان داده‌ایم (شکل ۸). محاسبه پیچیدگی LZ با استفاده مستقیم از تعریف انجام گرفته است. مشاهده می‌شود که پیچیدگی LZ هر بلوک نسبت به بلوک قبل، یک واحد افزوده شده است. این همان نتیجه‌ای است

مشکلاتی از قبیل عدم همگرائی جوابهای حاصل از محاسبات عددی می‌شود. در اینجا نشان داده‌ایم که پیچیدگی LZ را می‌توان برای سیستمهایی پیچیده‌تر از نگاشتهای یک بعدی (مثل نگاشت لاجستیک [۷]) نیز به کار برد. بدین ترتیب با انتخاب شیوه مناسب کدگذاری و احیاناً با انتخاب حروف الفبا بیشتر (بیش از دو حرف) می‌توان از پیچیدگی LZ به عنوان شاخص دینامیکی هم‌ارز با نمای لیپانف که محاسبه آن ساده‌تر و مستلزم وقت کمتر است سود جست. از جهت دیگر برای آرایه‌های تناوبی افزایش لگاریتمی پیچیدگی با طول آرایه نتیجه مستقیم نظم دوربرد شبه تناوبی است.

همچنین پیچیدگی LZ بهنجار برای سیستمهایی با رفتارهای مختلف به شرح ذیل مقایسه می‌شوند. از قضیه اثبات شده نتیجه می‌شود که پیچیدگی LZ بهنجار سیستمهایی شبه تناوبی (و حالت خاص آنها یعنی سیستمهای تناوبی) در حد آرایه‌های بسیار بلند به مقدار صفر میل می‌کند.

$$\lim_{n \rightarrow \infty} \{C(n)/b(n)\} = \lim_{n \rightarrow \infty} \{\log n\}^{\frac{1}{n}} = 0$$

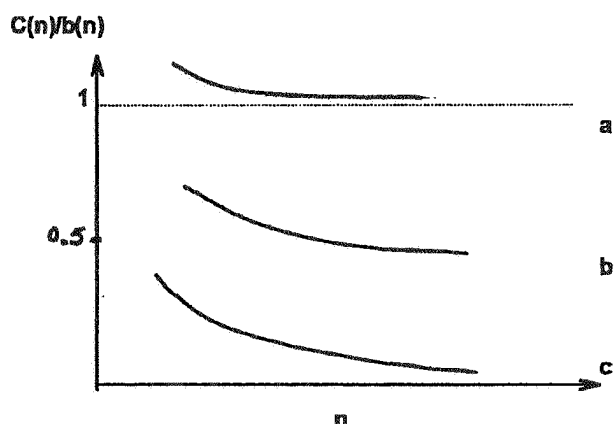
در صورتی که پیچیدگی LZ بهنجار سیستمهای آشوبناک در این حد به سمت مقداری کمتر از یک میل می‌کند [۷]:

$$0 < \lim_{n \rightarrow \infty} \{C(n)/b(n)\} < 1$$

مقدار پیچیدگی LZ بهنجار سیستمهای کتره‌ای به سمت یک میل می‌نماید:

$$\lim_{n \rightarrow \infty} \{C(n)/b(n)\} = 1$$

نمودار طرح وار این سه نوع رفتار را در شکل (۹) نشان داده‌ایم. به نظر ما می‌توان مفهوم پیچیدگی LZ در تبیین یک پارامتر نظم در مطالعه ساختارهای با تقارن شکسته با رهیافتی به محتوای اطلاعاتی این ساختارها بکار برد.



شکل ۹. مقایسه پیچیدگی LZ بهنجار برای سیستمهای (a) کتره‌ای، (b) آشوبی و (c) شبه تناوبی در حد آرایه بلند.

ها ماتریس‌های ژاکوبی‌اند که به ازای $(\delta X_m, \delta Y_m)$ محاسبه می‌شوند؛ اما برای نگاشت فیبوناچی این ماتریس‌ها همگی ثابت و هم برابرند.

$$J = J_{n-1} = J_{n-2} = \dots = J_1 = J_0 = \begin{pmatrix} 1 & 1 \\ 1 & 0 \end{pmatrix}$$

$$Z_n = J^n Z_0 \Rightarrow Z_n = (f_n, f_{n-1}).$$

$$\lambda = \lim_{n \rightarrow \infty} 1/n \{\log_r (\|Z_n\| / \|Z_0\|)\}$$

$$\therefore \lambda = \lim_{n \rightarrow \infty} (1/2n) \{\log_r (f_n + f_0)\}$$

$$= 1 \text{ BLOCK/ITERATION.}$$

این نتیجه برای نمای لیپانف بدین معنی است که تولید اطلاعات توسط نگاشت فیبوناچی با آهنگ یک بلوک به ازای هر تکرار انجام می‌گیرد. و از سوی دیگر این معادل است با افزایش ظرفیت اطلاعاتی آرایه فیبوناچی با آهنگ یک بلوک در هر تکرار ($C_b = 1$).

۴. نتیجه

محاسبه نمای لیپانف برای سیستمهایی با ابعاد زیاد مواجه با

مراجع

- Complexity, Proc. vol. XII, p. 317, Addison Wesley, (1992).
13. J P Crutchfield, K Young, *Phys. Rev. Lett.*, **63**, 105, (1989).
۱۴. نگاشت هنون، نگاشت پوانکاره سیستم پیوسته سه بعدی لورنتس است که به ازای مقادیر بخصوصی از پارامترهای کنترل آن به دست می‌آید. بدین وسیله تحول مجموعه نقاط گستته در صفحه جایگزین تحول مسیرها در فضای فاز سه بعدی می‌شود و در ضمن دارای تمام ویژگیهای اصلی سیستم لورنتس می‌باشد. گزارش این کار در مقاله زیر آمده است:
- M Hénon, *Commun. Math. Phys.*, **50**, 69 (1976).
- مدل نوسانگر و اداشته اتفاقی، سیستم‌های مختلفی را توصیف می‌کند. به عنوان مثال مقاله زیر به بررسی رفتارهای مختلف نوسانگر پیوند جوزفسون تحت تابش میکرو موج و منشأ نوافه در این سیستم می‌پردازد:
- B A Huberman, J P Crutchfield and N H Packard, *Appl. Phys. Lett.*, **37**, 750, (1980).
15. W Ebeling, *From phase transitions to chaos*, p. 470 World Scientific, (1992).
1. R M May, *Nature*, **261**, 459 (1976).
 2. J P Eckmann D Ruelle, *Rev. Mod. Phys.*, **57**, 617 (1985).
 3. Y Termonia, *Phys. Rev. A*, **29**, 1612 (1984).
 4. N H Packard, J P Crutchfield, J D Farmer and R S Shaw *Phys. Rev. Lett.*, **45**, 712, (1980).
 5. R Brown, P Bryant and H D I Abarbanel, *Phys. Rev. A*, **43**, 2787 (1991).
 6. A Wolf, J B Swift, H D Swinney and J A Vastano, *Physica*, **16D**, 285 (1985).
 7. F Kasper H G Shuster, *Phys. Rev. A*, **36**, 832 (1987).
 8. J Ford, *Chaotic Dynamics and Fractals*, p. 1, Academic Press, 1, (1986).
 9. د. آراسته، "تعیین برخی از شاخصهای دینامیکی سیستم‌های آشوبی" ، دانشگاه صنعتی امیرکبیر تهران (۱۳۷۳) صفحه ۱۱
 10. N Rasband, *Chaotic Dynamics of Nonlinear Systems*, p. 205, John Wiley and Sons, (1990).
 11. M V Volkenstein, *Biophysics*, p. 611, Mir Publishers, (1983).
 12. J P Crutchfield, *Nonlinear Modeling and Forecasting*, Santa FE Institute Studies in the Sciences of

واژه‌نامه

Algorithmic Complexity	۱- پیچیدگی الگوریتمی
LZ Complexity	۲- پیچیدگی LZ
Lyapunov Exponent	۳- نمای لیاپانف
K-Entropy	۴- K-(انتروپی کولموگوروف و سینایی)
Power Spectrum	۵- طیف توان
Fractal Dimensions	۶- ابعاد فراکتالی
Gram-Schmit Reorthonormalization Procedure	۷- روش راست بهنجارش گرام اشمت
Symbolic Dynamics	۸- دینامیک نمادها
Intermittent	۹- آشوب ایترمیتنت